

تلفیق داده‌های مغناطیس‌سنجدی هوابرد و تصاویر ماهواره‌ای برای شناسایی پهنه‌های مستعد کانی‌سازی آهن به کمک نمودارهای پیش‌بینی-مساحت در برگه ۱:۱۰۰۰۰۰ اسفورדי

فریدن احمدی^۱، حمید آقاماجانی^(۲)* و میثم عابدی^۳

- دانشجوی دکتری، گروه مهندسی اکتشاف معدن، دانشکده مهندسی معدن، نفت و ژئوفیزیک، دانشگاه صنعتی شاهرود، شاهرود
- دانشیار، گروه مهندسی اکتشاف معدن، دانشکده مهندسی معدن، نفت و ژئوفیزیک، دانشگاه صنعتی شاهرود، شاهرود
- استادیار، گروه مهندسی معدن، دانشکده معدن، دانشگاه تهران، تهران

تاریخ دریافت: ۱۴۰۰/۰۲/۲۶

تاریخ پذیرش: ۱۴۰۰/۰۶/۱۶

چکیده

در بررسی‌های اکتشافی و تعیین مناطق با پتانسیل بالای کانی‌سازی، استفاده همزمان از لایه‌های مختلف اطلاعاتی نتایج قابل اعتمادتری ارائه خواهد داد. در این تحقیق برای بررسی پتانسیل کانی‌زایی آهن در برگه زمین‌شناسی ۱:۱۰۰۰۰۰ اسفوردي، از داده‌های مغناطیس‌سنجدی هوابرد و سه نوع تصویر ماهواره‌ای است، لندست-۸ و سنتینل-۲-۱ اسفوردي، از داده‌های مغناطیس‌سنجدی هوابرد و سه نوع تصویر ماهواره‌ای است، لندست، پروپیلیتیک، مشتق قائم اول بر روی داده‌های مغناطیسی اعمال شد. لایه‌های دگرانی (آرژیلیک، فیلیک، پروپیلیتیک)، نواحی حاوی اکسید آهن و گوسان و خطواره‌ها به وسیله تصاویر ماهواره‌ای استخراج شدند. لایه‌های سیگنال تحلیلی، زاویه تیلت افقی و مشتق قائم اول بر روی داده‌های مغناطیسی توده مغناطیسی و ساختارهای مغناطیسی مورد استفاده قرار گرفت. سه لایه استخراج شده از تصاویر ماهواره‌ای به همراه دو لایه ژئوفیزیکی در تحلیل‌ها استفاده شدند. با استفاده از روش فرکتالی مقدار-مساحت و نمودار پیش‌بینی-مساحت و ۲۲ نقطه اندیس و معدن فعل در منطقه مورده مطالعه، وزن این لایه‌ها محاسبه شد. لایه سیگنال تحلیلی با نرخ پیش‌بینی ۷۶ درصد، دارای بیشترین وزن در بین همه لایه‌ها است بدین معنی که با ۲۴ درصد از مساحت اشغال شده، ۷۶ درصد از نهشته‌های آهن بدرسی پیش‌بینی شده است. لایه نهایی پتانسیل‌یابی آهن منطقه مطالعه با تلفیق همه لایه‌ها با استفاده از روش همپوشانی شاخص چندکلاسه تهیه شد. این نقشه نقطه عطفی در نرخ پیش‌بینی ۷۸ درصد دارد بدین معنی که وزن آن از تک لایه‌ها بیشتر است. بر اساس این نقشه، پتانسیل‌های جدید کانی‌زایی آهن در شرق و جنوب‌شرق برگه اسفوردي مشاهده می‌شود.

واژه‌های کلیدی: اسفوردي، سنتینل-۲، کانی‌زایی آهن، مغناطیس‌سنجدی هوابرد، نمودار پیش‌بینی-مساحت.

مقدمه

است. داده‌های ژئوفیزیک هوا برد در مقیاس ناحیه‌ای برداشت

می‌شود و اغلب به عنوان ابزاری برای شناسایی تغییرات جانی لیتولوژی و مناطق با پتانسیل بالای کانی‌سازی استفاده می‌شود. از آنجایی که شدت میدان مغناطیسی کل در هر نقطه متأثر از مواد و ساختارهای مغناطیسی موجود در آن نقطه است، بر پایه تفسیر این نقشه و اعمال فیلترهای مختلف می‌توان به وجود ناهنجاری‌های ساختاری زیرسطحی پی برد (Grauch and Johnston, 2002). در تفسیر داده‌های ژئوفیزیک هوا پی که به منظور اکتشاف ذخایر معدنی مورد استفاده قرار می‌گیرد، ساختارهای زمین‌شناسی از جمله گسل‌ها یا خطواره‌های پنهان و همچنین نواحی دگرسانی مختلف مورد نظر می‌باشد. بنابراین در تفسیر این داده‌ها که شامل داده‌های مغناطیسی، الکترومغناطیسی و رادیومتری می‌باشد، تشخیص و تعیین محل ساختارهای ذکر شده به عنوان محل‌هایی برای بالآمدن سیالات کانه ساز و تشکیل کانی‌سازی دارای اهمیت بوده و تفسیر کیفی داده‌ها بیشتر بر روی آنها متمرکز می‌شود. البته ممکن است با توجه به اهداف مختلف موارد دیگری نیز در تفسیر داده‌های ژئوفیزیک هوا پی مدار نظر قرار گیرد که در این موارد نیز باید به پیدیده‌ها و عوارض و نیز روش‌هایی که می‌تواند در شناسایی ناهنجاری‌های مورد نظر کمک کند توجه کرد.

از آنجایی که استفاده از یک پارامتر ژئوفیزیکی برای رسیدن به هدف مشخص می‌تواند دارای عدم قطعیت بالایی باشد، می‌توان با استفاده از چند پارامتر، این عدم قطعیت را تا حدود زیادی کاهش داد. برای تعیین پهنه‌های با پتانسیل بالای کانی‌سازی، اغلب از تلقیق اطلاعات مختلف و روش‌های وزن‌دهی مانند وزن‌های نشانگر، منطق فازی و رگرسیون منطقی استفاده می‌شود (Bonham-Carter, et al; 1989).

استفاده از روش دورسنجی و تصاویر ماهواره‌ای برای نقشه برداری از مناطق دگرسانی گرمایی، واحدهای سنگی و ویژگی‌های ساختاری مرتبط با انواع کانی‌سازی طی چند دهه گذشته در سراسر جهان بسیار چشمگیر بوده است (Testa et al; 2018 Javed and Wani, 2009).

استفاده بهینه از داده‌های ماهواره‌ای برای اکتشاف مواد

بازارهای بین‌المللی سنگ آهن به دلیل تقاضای زیاد صنایع فولاد، به تازگی مورد توجه بسیاری قرار گرفته است. ظرفیت‌های استخراج معادن در سراسر جهان گسترش یافته و ناحیه بافق در ایران مرکزی، جز پهنه‌های با پتانسیل بالای سنگ آهن به شمار می‌آید. ناحیه معدنی بافق، میزبان کانسارهای مهم «نوع کایرونا» مگنتیت-آپاتیت در کمریند آتش‌شنانی کاشمر-کرمان در قلمرو ایران مرکزی است (Daliran and Stosch, 2009; Mohammad Torab, 2008).

در ناحیه ساختاری ایران مرکزی به خصوص در ناحیه بافق، تعداد بسیار زیادی از معادن سنگ آهن وجود دارد. گستره برگه زمین‌شناسی ۱:۱۰۰۰۰۰ اسپورتی به عنوان بخشی از این ناحیه، شامل چندین معدن سنگ آهن مهم است. به عنوان مثال می‌توان معادن: چادرملو، چغارت، سه‌چاهون و میشدوان را نام برد (Sadeghi et al; 2013; Ghorbani, 2013; Daliran, 1990) مگنتیت-آپاتیت در ناحیه بافق، همچنان به عنوان یک بحث چالش‌برانگیز در بین زمین‌شناسان وجود دارد. البته در این بین مدل‌های مختلفی در این خصوص ارائه شده است (Daliran and Stosch, 2009; Förster et al; 1994).

عملیات مغناطیسی سنجی از قدیمی‌ترین روش‌های ژئوفیزیکی است که برای فعالیت‌های اکتشافی در زمینه‌های مختلف و به ویژه اکتشاف ذخایر آهن مورد استفاده قرار می‌گیرد. برداشت اصولی و تفسیر صحیح داده‌های مغناطیسی سنجی در کنار دیگر داده‌های اکتشافی می‌تواند ضمن کاهش هزینه‌ها، اطلاعات ارزشمندی در مورد موقعیت، عمق و ابعاد بخش‌های پنهان ذخایر آهن در اختیار پژوهشگران قرار دهد. در بیشتر یافته‌های جدید اکتشافی، ژئوفیزیک نقش مؤثری در اکتشاف و نمایش ذخایر پنهان در عمق دارد. مطالعات مغناطیسی سنجی به طور گسترده‌ای برای اکتشاف مواد معدنی در سراسر جهان استفاده می‌شود (Elkhateeb and Abdellatif, 2018; Gaffar, 2015; Murphy, 2007). بی‌نهنجاری‌های مغناطیسی تولید شده توسط مناطق غنی از مگنتیت یا تهی‌شدگی مغناطیسی حاصل می‌شود که از سنگ‌های میزبان زمینه قابل تشخیص

در گستره برگه اسپورتی و تصاویر ماهواره‌ای سنتیل ۲، لندست ۸ و استر وبه کمک نمودارهای پیش‌بینی-مساحت، نقشه پتانسیلمعدنی از مناطق مستعد کانی‌زایی آهن در این برگه تهیه شده است.^۱

زمین‌شناسی گستره مطالعه

ناحیه معدنی بافق-ساغند در مرکز پهنه ایران مرکزی و کمان آتشفسان-پلوتونیک کاشمر-کرمان، بین گسل‌های کوهبنان در شرق و بافق-پشت‌بادام در غرب، قرار دارد. بر اساس نقشه‌برداری زمین‌شناسی و تحقیقات انجام شده، مجموعه سنگ‌های پرکامبرین، کامبرین و کواترنر در این ناحیه وجود دارد (مجیدی و همکاران، ۱۳۹۴). تشکیلات پرکامبرین بیشتر در جنوب سه‌چاهون در شمال شرقی بافق ایجاد شده است. از لحاظ ساختاری، این گستره جزء پهنه ایران مرکزی، زیر پهنه بافق-پشت‌بادام است. کهنه‌ترین سنگ‌های این گستره مربوط به پرکامبرین است و شامل مجموعه‌هایی از سنگ‌های دگرگونی شیست، گنایس، مرمر و آمفیولیت می‌باشد. رسوبات ترشیزی و کواترنری بیشتر شامل مجموعه‌هایی از کنگلومرا، ماسه سنگ و آبرفت‌های جوان هستند. توده‌های نفوذی موجود در گستره شامل گرانیت‌های زریگان، ناریگان، بهاباد و سینیت اسپورتی و مجموعه‌ای از دایک‌های دیبوریتی و گابرویی هستند (Stosch et al; 2011; Torab and Lehman, 2006).

برگه ۱۰۰۰۰: اسپورتی در گستره بافق-پشت‌بادام قرار دارد. قدیمی‌ترین واحدهای موجود در این گستره سری ماسه سنگ‌های کوارتزی است. رسوبات این منطقه متعلق به کامبرین بالایی و پرکامبرین پایینی همراه با مقادیر کم ماسه سنگ در رسوبات قدیمی قرار دارند و از دو بخش زیرین و فوقانی تشکیل شده‌اند. بخش زیرین شامل دولومیت، سنگ آهک، شیل و ماسه سنگ، گدازه‌های اسیدی و شیل آهکی است و بخش فوقانی بیشتر کربنات‌ها را شامل می‌شود. کانی‌سازی گرمابی مگنتیت-آپاتیت عمده‌است به عنوان ماده معدنی غالب در این گستره و جایگزینی متاسوماتیک از عناصر خاکی کمیاب و کانی‌سازی اورانیوم اتفاق افتاده

معدنی، به ویژه در اکتشاف کانسارها، شناخت و نقشه‌برداری نواحی دگرسانی مرتبط، کمک شایانی به اکتشاف منابع معدنی زیرزمینی و به ویژه آهن می‌کند. در این روش برای شناسایی هدف، پس از انجام پیش‌پردازش‌ها و تصحیح‌ها از روش‌های مختلفی برای بارزسازی و شناسایی هدف اکتشافی مورد نظر استفاده می‌شود.

استفاده همزمان از فناوری سنجش از دور و ژئوفیزیک‌هایی در نقشه‌برداری زمین‌شناسی و اکتشاف مواد معدنی بسیار کارآمد خواهد بود (Ranjbar et al; 2004). کلارک (Clark, 2014) در مطالعه خود نشان داده است که دگرسانی‌های هیدرورتمال تاثیر زیادی بر روی خواص مغناطیسی سنگ‌ها و الگوی آنومالی‌های مرتبط با آنها دارند. بنابراین برداشت‌های مغناطیسی سنجی در شناسایی این نوع دگرسانی‌ها و در برخی موارد کانی‌سازی درون آنها مفید خواهد بود. بنابراین استفاده از داده‌های مغناطیسی‌هایی در کنار داده‌های ماهواره‌ای در یک منطقه می‌تواند نقش مهمی در مطالعه ساختارهای سطحی و زیرسطحی در منطقه و ارتباط آنها با عارضه‌های ساختاری اصلی و ناحیه‌ای داشته باشد.

یوسفی و کارانزا (Yousefi and Carranza, 2015) نمودار نرخ پیش‌بینی-مساحت را برای وزن دهی به لایه‌های شاهد توسعه داده‌اند. در این روش از تابع لجستیک به منظور تخصیص امتیاز عضویت فازی به مقادیر پیوسته شواهد مکانی استفاده می‌شود. تابع لجستیک، کل داده‌ها را به یک دامنه محدود [۰-۱] انتقال می‌دهد. مقادیر حاصل شده، محور افقی نمودار را شامل می‌شود. دو محور قائم در نمودار، درصد آنومالی‌های پیش‌بینی شده از انديس‌ها و نهشته‌های معدنی در منطقه و مساحت متناظر می‌باشد. بر اساس این نمودار میزان درصد آنومالی موجود در منطقه با مساحت متناظر سنجیده می‌شود. محل تلاقی دو منحنی به عنوان نقطه عطف نمودار، بیانگر وزن لایه خواهد بود بدین صورت که هرچه نقطه عطف، مقادیر بالاتری را شامل شود وزن نهایی لایه بیشتر خواهد بود. به عبارتی با مساحت کمتر، مناطق آنومال بیشتری قابل پیش‌بینی است. در همین راستا، در این پژوهش با استفاده از داده‌های ژئوفیزیک‌هایی

1. Prediction-area

ایران، منطقه مطالعاتی جز ذخایر آهن از نوع IOCG و کایرونا به شمار می‌رود که این ذخایر به صورت مثلث شکل در این نقشه قابل مشاهده هستند. محدوده برگه اسفوردی نیز به وسیله چهارضلعی قرمز رنگ مشخص شده است (شکل ۱-الف). برای تفکیک لیتلوزی‌های محدوده از ترکیب رنگی کاذب 751 RGB تصویر لندست-۸ استفاده شد. پوشش‌گیاهی در این تصویر به رنگ سبز نمایان است (شکل ۱-ب). نقشه زمین‌شناسی باز تولید شده در مقیاس ۱:۱۰۰۰۰۰۰ محدوده نیز در شکل ۱-ج آورده شده است. با مشاهده و مقایسه همزمان این نقشه با ترکیب رنگی، می‌توان یک دید بسیار خوب و جامع از شرایط زمین‌شناسی منطقه داشت.

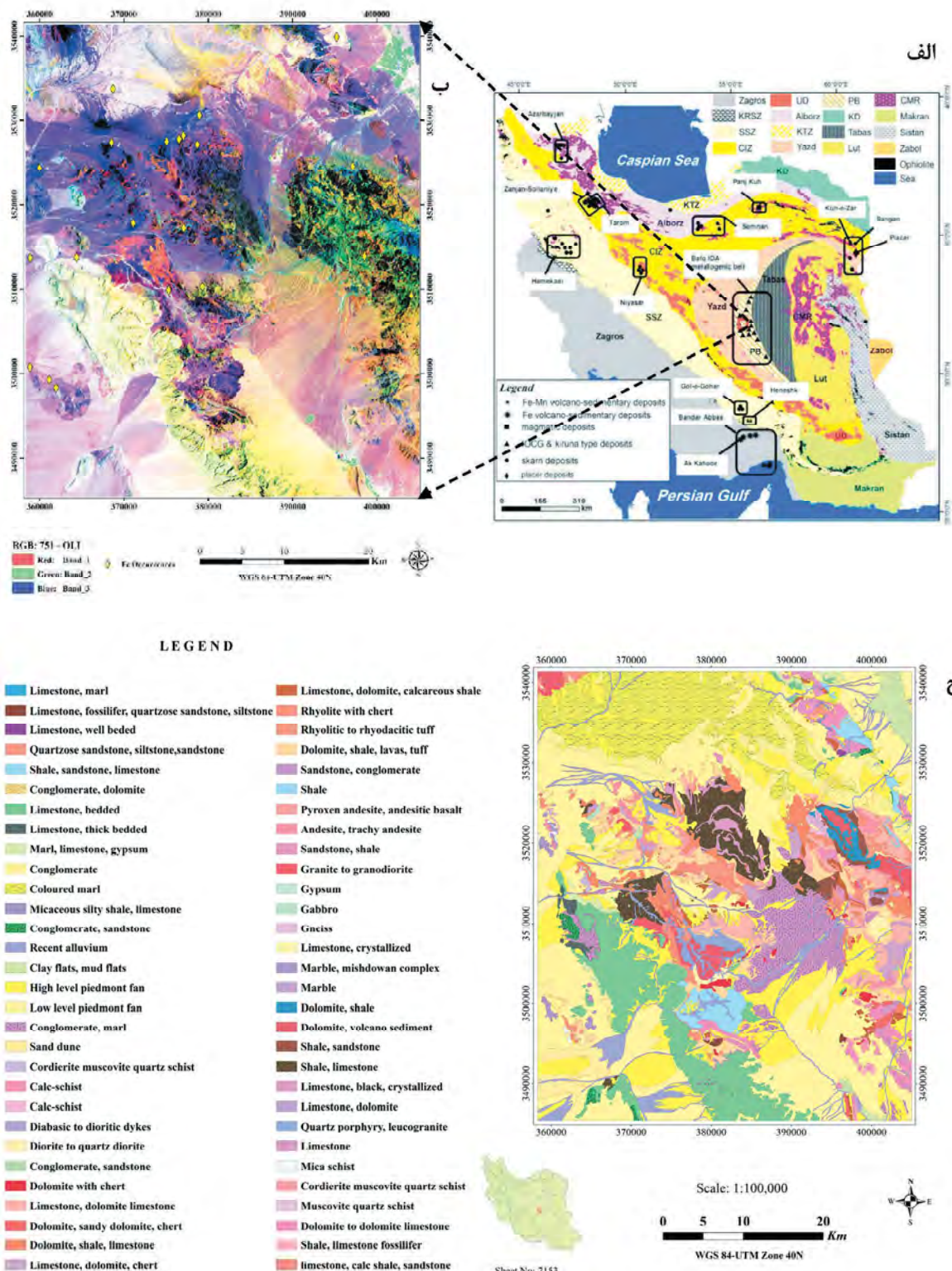
است. ذخایر سنگآهن این گستره با سنگ‌های آتشفشاری رسوبی و نفوذی‌های درجه بالا همراه است و دارای یک مجموعه معدنی فقیر سولفید از مگنتیت کم تیتانیم ± است.

در گستره مورد مطالعه، تعداد ۲۲ نهشته و اندیس مرتبط با ذخایر سنگ آهن گزارش شده است (Ghorbani, 2013). اسامی این اندیس‌ها در جدول ۱ آورده شده است. نقشه پراکنده‌گی ذخایر آهن ایران، ترکیب رنگی 751 RGB از تصویر لندست-۸ و نقشه زمین‌شناسی باز تولید شده ۱:۱۰۰۰۰۰ اسفوردی به همراه محل اندیس‌ها و نهشته‌های موجود در این برگه در شکل ۱ نمایش داده شده است. طبق نقشه پراکنده‌گی، ذخایر مختلف آهن در

جدول ۱. اسامی اندیس‌های معدنی آهن در منطقه مطالعه

ردیف	نام معدن/آنومالی	زمین‌شناسی منطقه
۱	آنومالی X	ماسه سنگ و شیل/پالئوزوئیک
۲	آنومالی II B	سنگ‌های متاسوماتیک و دگرگون شده/پرکامبرین
۳	آنومالی II C	سنگ‌های متاسوماتیک و دگرگون شده/پرکامبرین
۴	آنومالی IV	سنگ‌های متاسوماتیک و دگرگون شده/پرکامبرین
۵	آنومالی V B	ماسه سنگ و شیل/پالئوزوئیک
۶	آنومالی V C	ماسه سنگ و شیل/پالئوزوئیک
۷	آنومالی V III	گرانیت، ولکانیک و ماسه سنگ/پرکامبرین بالا-کامبرین پایین
۸	آنومالی XI	ماسه سنگ و شیل/پالئوزوئیک
۹	آنومالی X IIA	سنگ‌های رسوی ولکانیکی/پرکامبرین- کامبرین
۱۰	آنومالی X IIIA	گرانیت پرفیری/پرکامبرین بالا-
۱۱	چشمeh فیروز	دولومیت و اسیدی تا ولکانیکی حد واسط/پرکامبرین بالا-کامبرین پایین
۱۲	چخارت	آلکالی گرانیت، ولکانیک، ماسه سنگ و شیست/پرکامبرین بالا-کامبرین پایین
۱۳	شرق بافق	آلکالی گرانیت، ولکانیک اسیدی، دولومیت و سنگ آهک/پرکامبرین بالا-کامبرین پایین
۱۴	اسغوردی	آلکالی گرانیت، ولکانیک اسیدی، دولومیت و سنگ آهک/پرکامبرین بالا-کامبرین پایین
۱۵	لکه سیاه	آلکالی گرانیت، ولکانیک اسیدی، دولومیت و سنگ آهک/پرکامبرین بالا-کامبرین پایین
۱۶	مشیدوان	آلکالی گرانیت، ولکانیک اسیدی، دولومیت و سنگ آهک/پرکامبرین بالا-کامبرین پایین
۱۷	مبارکه	سنگ‌های دگرگون شده/پرکامبرین
۱۸	نارگون	آلکالی گرانیت، ولکانیک اسیدی، دولومیت و سنگ آهک/پرکامبرین بالا-کامبرین پایین
۱۹	ناریگان	ولکانیک و ماسه سنگ/پرکامبرین بالا-کامبرین پایین
۲۰	شمال سه چانگی ۱	ماسه سنگ و شیل/پالئوزوئیک
۲۱	شمال سه چانگی ۲	ماسه سنگ و شیل/پالئوزوئیک
۲۲	سه چاهون	دیبوریت، رسوی ولکانیکی/پرکامبرین بالا-کامبرین پایین

1. Iron Oxide Copper Gold



شکل ۱. موقعیت و زمین‌شناسی برگه اسفوردی، الف) موقعیت ذخایر مختلف سنگ آهن در ایران (Nabatian, et al; 2015)، ب) ترکیب رنگی کاذب RGB 751 از تصویر لندست-۸، ج) نقشه زمین‌شناسی ۱:۱۰۰۰۰۰ باز تولید شده برگه اسفوردی

مغناطیسی یعنی جایی که میدان القابی قائم است، منتقل می‌شود زیرا اگر میدان زمین مایل باشد شکل ناهنجاری‌های مغناطیسی که به صورت القابی به وجود آمده‌اند نسبت به منابع به وجود آورند نامتقارن خواهد بود اما در صورتی که میدان القابی قائم باشد، ناهنجاری‌های به وجود آمده در اثر القابی مغناطیسی بر روی منبع خودشان قرار می‌گیرند پس تفسیر داده‌های مغناطیسی هوایی به طور معمول بر روی تصاویر مختلف برگردان به قطب صورت می‌گیرد ^۱ (Elkhateeb et al; 2018, Murphy, 2007).

در ادامه روند کار، فیلترهای ادامه فراسو ^۲، ۲۰۰، ۵۰۰ و ۱۰۰۰ متری بر روی نقشه برگردان به قطب اعمال شد (شکل‌های ۲-ج تا ۲-پ). هدف از اعمال این فیلترها، از بین بردن یا تضعیف ناهنجاری‌های مغناطیسی با فرکانس بالای سطحی است. سپس برای تشخیص توده نفوذی عمیق و ساختارهای مغناطیسی به ترتیب نقشه سیگنال تحلیلی ^۳ (AS) و زاویه تیلت افقی ^۴ (TDX) استفاده شد (شکل ۲-ت و ۲-ث). زاویه تیلت افقی بر روی نقشه حاصل از ادامه فراسوی ۱۰۰۰ متر اعمال شد. معادلات مربوط به سیگنال تحلیلی و زاویه تیلت به ترتیب در ادامه آورده شده است. برای یک بی‌هنجاری مغناطیسی، سیگنال تحلیلی در فضای سه‌بعدی به صورت رابطه ^(۳) تعریف می‌شود (Hsu et al; 1996):

$$A_n(x,y) = \frac{\partial}{\partial x} \left[\left(\frac{\partial}{\partial z} \right)^n G \right] + \frac{\partial}{\partial y} \left[\left(\frac{\partial}{\partial z} \right)^n G \right] + \frac{\partial}{\partial z} \left[\left(\frac{\partial}{\partial z} \right)^n G \right] \quad (3)$$

که در آن $A_n(x,y)$ دامنه سیگنال تحلیلی و G ، بی‌هنجاری مغناطیسی است که اندازه آن نیز به راحتی قابل محاسبه است. زاویه تیلت نیز مطابق رابطه زیر تعریف می‌شود (Miller and singh, 1994):

$$T = \tan^{-1} \left[\frac{\frac{\partial f}{\partial z}}{\sqrt{\left(\frac{\partial f}{\partial x} \right)^2 + \left(\frac{\partial f}{\partial y} \right)^2}} \right] \quad (4)$$

که در آن، T مقدار زاویه تیلت و f میدان پتانسیل برداشت شده (مغناطیسی یا گرانی) است. مقدار زاویه تیلت و تغییرات زاویه تیلت در بالای توده‌های معدنی و همچنین

1. International Geomagnetic Reference Field
2. Reduction to the Pole
3. Analytic Signal
4. Horizontal Tilt Derivative

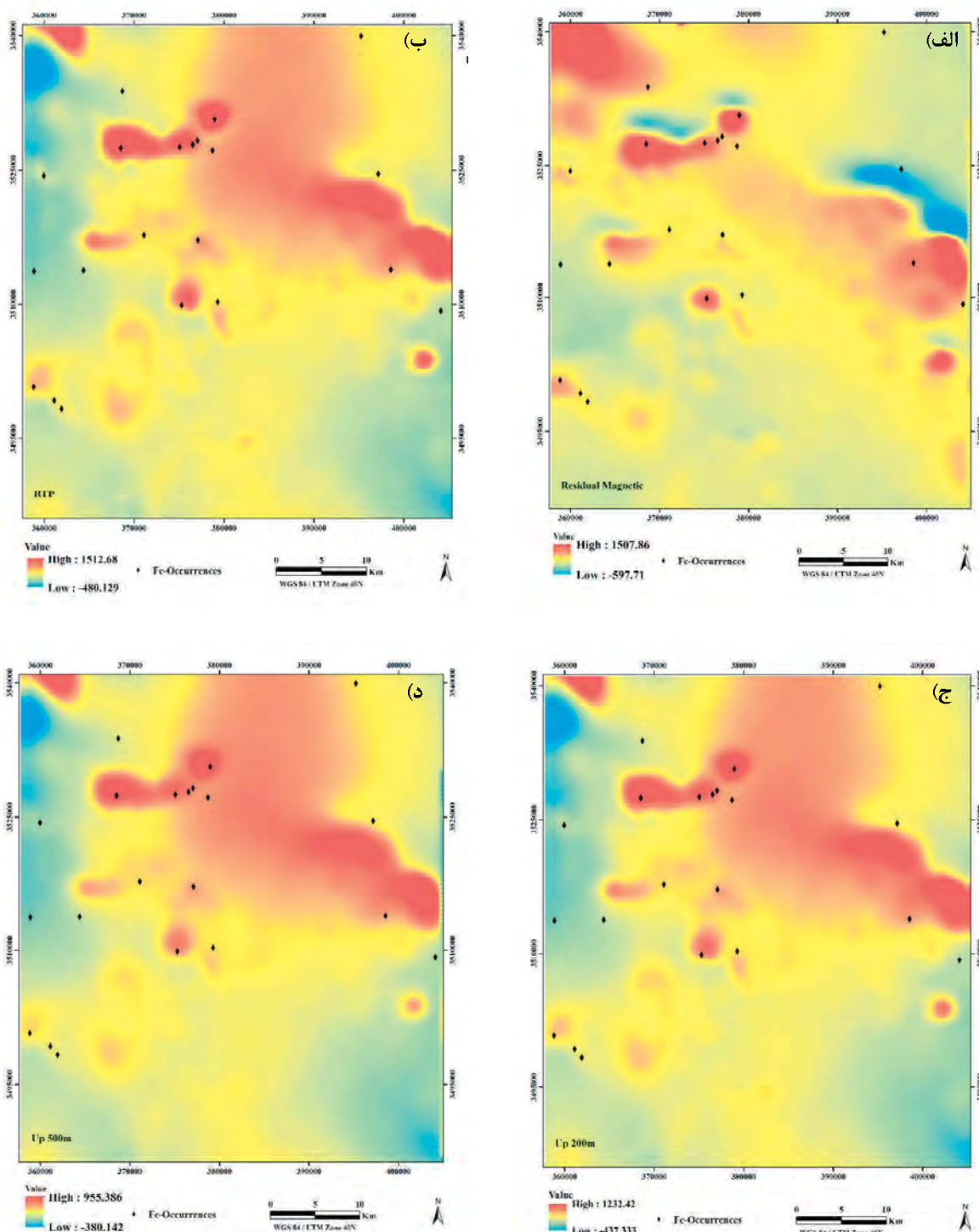
روش مطالعه

در این پژوهش، از یک روش ترکیبی از تجزیه و تحلیل فرکتالی عیار-مساحت (C-A) و نمودار پیش‌بینی-مساحت (P-A) برای وزن‌دهی و ارزیابی لایه‌های شاخص استفاده شده است. تمامی لایه‌های شاخص با اندازه پیکسلی ۱۰۰ متر در ۱۰۰ متر تهیه شده و مقادیر مکانی در هر نقشه با استفاده ازتابع لجستیک پیشنهاد شده توسط یوسفی و کارانزا (Yousefi and Carranza, 2015)، به یک بازه [۰-۱] انتقال یافت. با استفاده از روش فرکتال، حدود آستانه‌ای برای هر لایه به کمک روش مقدار-مساحت مشخص شد. براساس نمودارهای فرکتالی حاصل شده، لایه‌های مختلف مجدد کلاس‌بندی شدند. در ادامه با جانمایی محل آنومالی‌های موجود و تعیین مساحت دربرگیرنده، نمودارهای پیش‌بینی-مساحت برای هر لایه تهیه شد که براساس نقطه عطف حاصل شده، وزن هر لایه تعیین شد. از آنجا که هدف، اختصاص وزن به هر شاخص است، نسبت نرخ پیش‌بینی به مساحت اشغال شده مربوطه از طریق معادله زیر تعیین می‌شود:

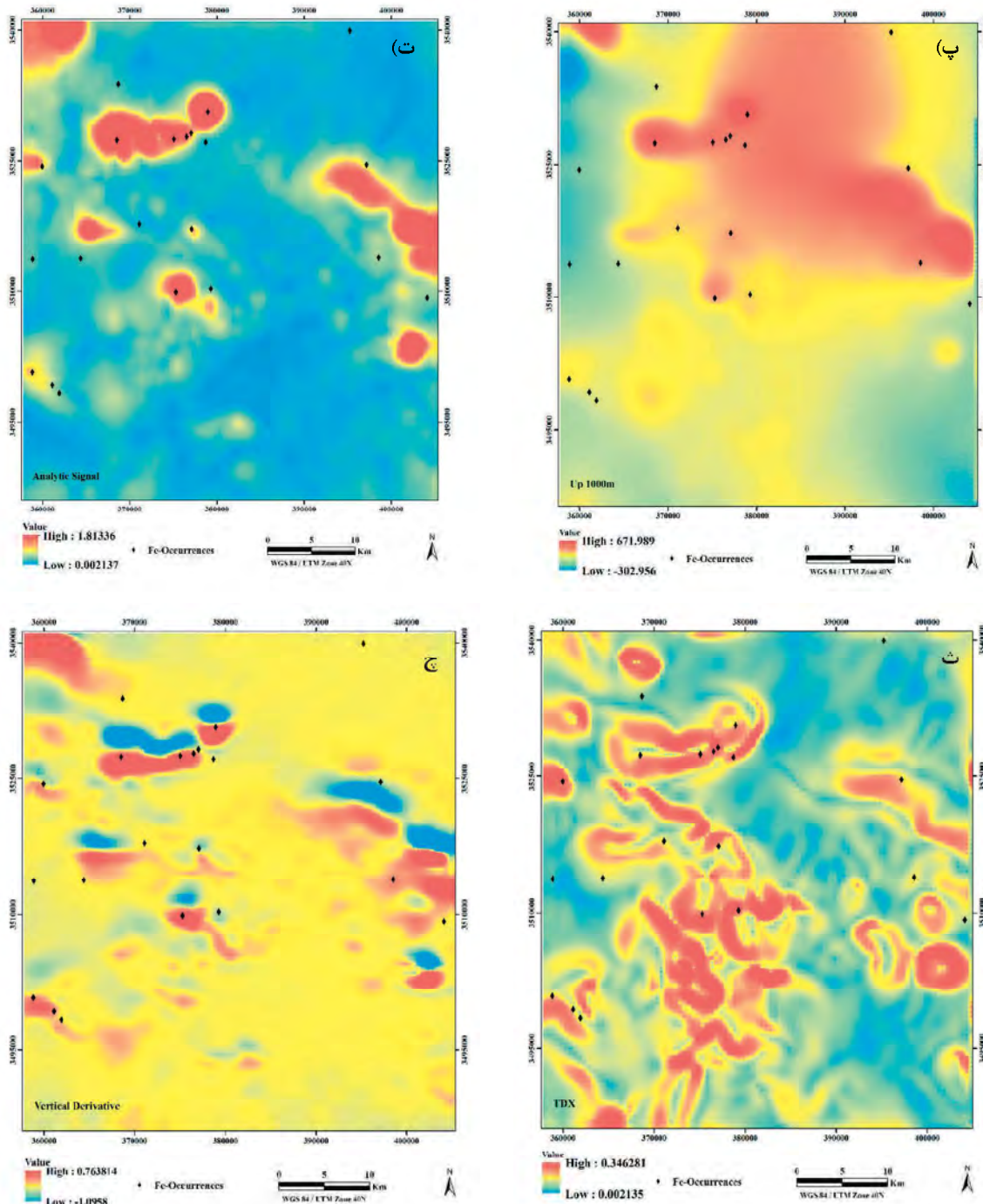
$$N_d = P_i / O_a \quad (1)$$

$$W_i = \ln N_d \quad (2)$$

در این روابط، N_d چگالی نرمال شده، P_i نرخ پیش‌بینی و O_a مساحت اشغال شده است که براساس نقطه عطف در نمودار P-A استخراج می‌گردد و W_i وزن نهایی است که به هر یک از لایه‌ها اختصاص داده می‌شود. لایه‌های ژئوفیزیکی و تصاویر ماهواره‌ای به صورت جداگانه تهیه و وزن هر کدام به وسیله نمودارهای P-A محاسبه شد. برای بدست آوردن شاخص‌های ژئوفیزیکی، ابتدا داده‌های مغناطیسی سنجی هوا برد مورد آنالیز قرار گرفتند. با توجه به نوع داده‌های در اختیار قرار داده شده، داده‌های مغناطیسی هوا برد در فرآیندهای بعدی مورد استفاده قرار گرفت. بدین معنی که از داده‌های خام مقدار مغناطیسی زمینه (IGRF) کم شده است (شکل ۲-الف). فیلتر کاهش یافته به قطب مغناطیسی ^۲ (RTP) بر روی داده‌های باقیمانده مغناطیسی اعمال شد (شکل ۲-ب). با استفاده از این فیلتر، میدان مغناطیسی از یک عرض مغناطیسی که در آن بردار میدان زمین مایل و شیبدار است به قطب



شکل ۲. نتایج پردازش داده‌های مغناطیس سنجی هوابرد، (الف) نقشه مغناطیس باقیمانده (R-M)، (ب) نقشه برگردان به قطب (RTP)، (ج) نقشه ادامه فراسو ۲۰۰ متر (Up 200m)، (پ) نقشه ادامه فراسو ۵۰۰ متر (Up 500m)، (د) نقشه ادامه فراسو ۱۰۰۰ متر (Up 1000m)، (ت) فیلتر سیگنال تحلیلی (A-S)، (ث) زاویه تیلت افقی اعمال شده بر روی ادامه فراسو ۱۰۰۰ متر (TDX)، (ج) فیلتر مشتق قائم (V-D).

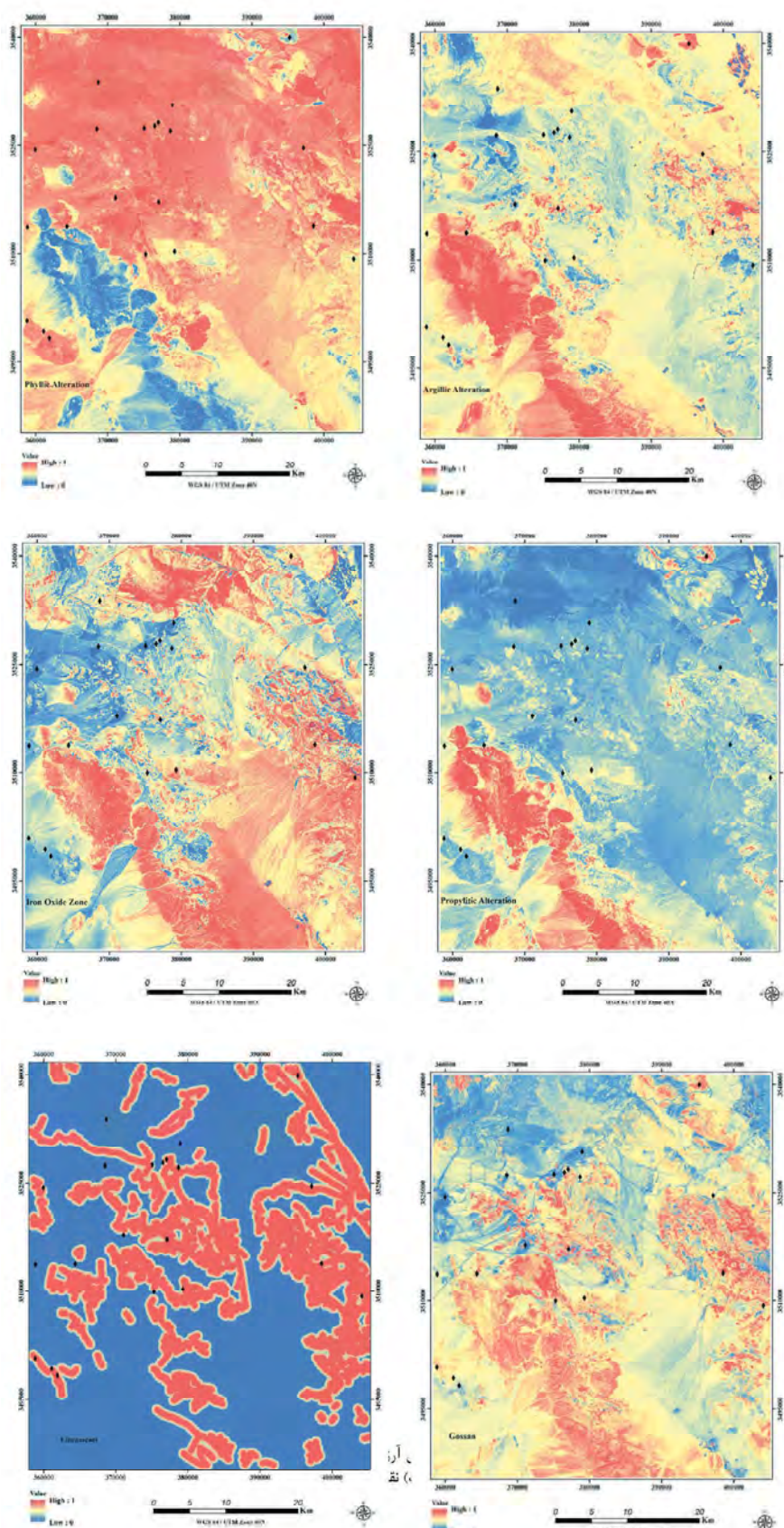


ادامه شکل ۲.

به سطوح پردازشی این تصاویر، ابتدا پیش‌پردازش‌های لازم بر روی هر کدام از تصاویر انجام پذیرفت تا آماده انجام پردازش‌های لازم گرددند. لایه‌های دگرسانی آرژیلیک، فیلیک و پروپیلیتیک با استفاده از تصویر استر و روش نسب‌باندی تهیه شد (شکل ۳-الف تا ۳-ج). برای این سه دگرسانی، نسبت‌های باندی ۴/۵، ۴/۶، ۷/۸ و ۹/۷ به ترتیب مورد استفاده قرار گرفت.

بدون بعد بودن آن مهمترین دلیل کاربرد این فیلتر است. در نهایت نقشه مشتق قائم اول تهیه شد تا جزئیات برجسته‌تر شده و تفکیک بهتری از بی‌هنجاری‌های موجود انجام شود (شکل ۲-ج).

لایه‌های دورسنجی نیز با استفاده از سه نوع تصویر ماهواره‌ای استر، سنتینل-۲ و لندست-۸ تهیه شد. با توجه

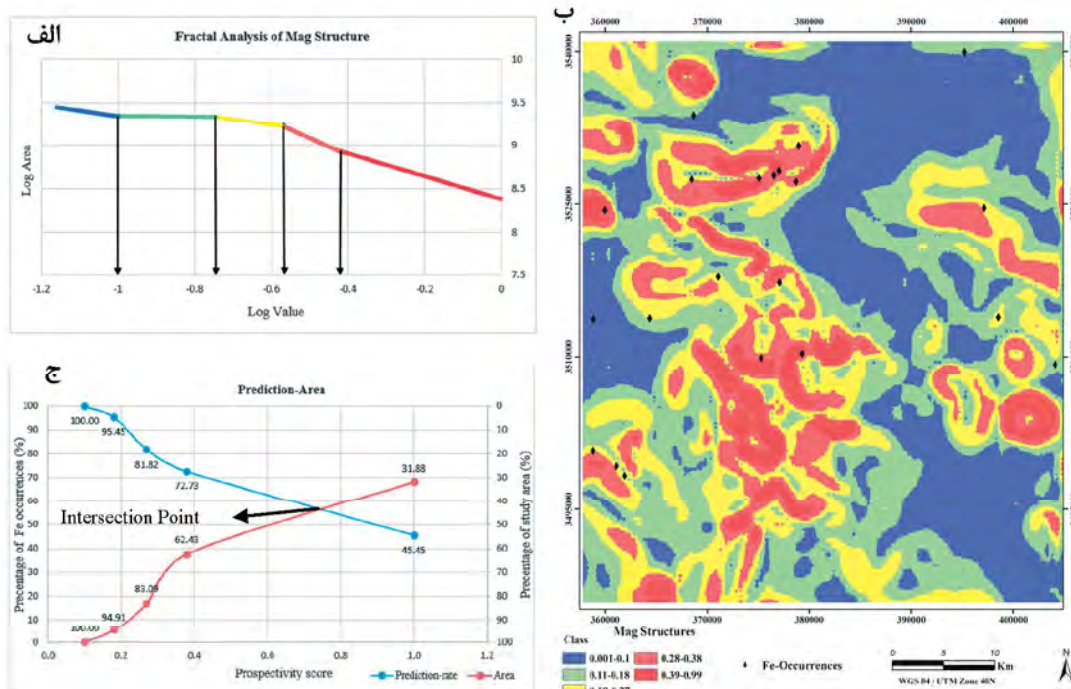


شکل ۳. نتایج پردازش داده‌های ماهواره‌ای، (الف) نقشه دگرسانی آرژیلیک، (ب) نقشه دگرسانی فیلیک، (ج) نقشه دگرسانی پروپیلیتیک، (د) نقشه اکسیدهای آهن، (پ) نقشه گوسان، (ت) نقشه خطواره‌ها

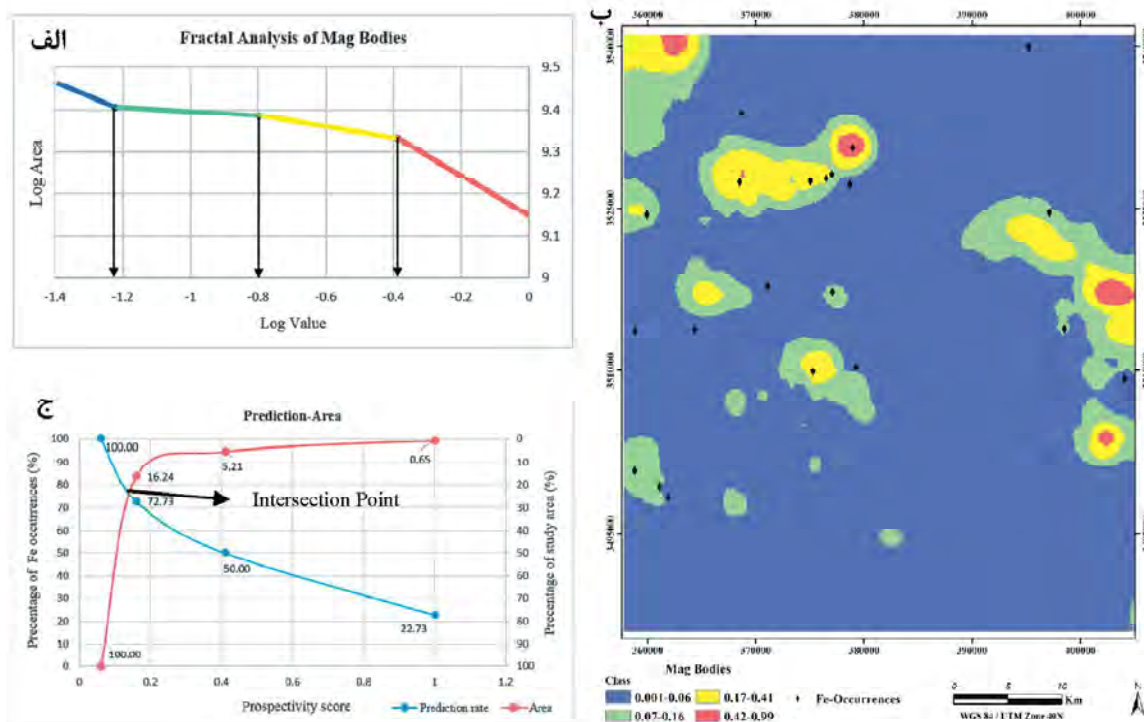
این لایه در شکل ۵-الف، نقشه کلاس‌بندی مجدد در شکل ۵-ب و نمودار پیش‌بینی-مساحت نیز در شکل ۵-ج نمایش داده شده است. با توجه به نمودار پیش‌بینی-مساحت آن، با ۲۴ درصد از مساحت اشغال شده، ۷۶ درصد از آنومالی‌ها توجیه می‌شوند. همین روند برای سه لایه شاهد دور سنجی شامل دگرسانی‌ها (آرژیلیک، فیلیک و پروپیلیتیک)، اکسیدهای آهن و زون گوسان و خطواره‌ها مورد استفاده قرار گرفت. نتایج مرتبط با این سه لایه به ترتیب در شکل‌های ۶ تا ۸ نشان داده شده است. لایه دگرسانی‌ها شامل پنج کلاس و نقطه عطفی در نرخ پیش‌بینی ۷۰ درصد دارد. لایه اکسیدهای آهن و زون گوسان شامل شش کلاس و نقطه عطفی در نرخ پیش‌بینی ۵۹ درصد دارد. لایه خطواره‌ها شامل پنج کلاس و نقطه عطف در نرخ پیش‌بینی ۶۰ درصد قرار دارد. طبق این نتایج لایه ساختارهای مغناطیسی با نرخ پیش‌بینی ۵۸ درصد، کمترین وزن و لایه شاهد سیگنال تحلیلی و دگرسانی فیلیک به ترتیب با نرخ‌های پیش‌بینی ۷۰ و ۷۶ درصد، دارای بیشترین نرخ‌های پیش‌بینی (کمترین مساحت) هستند. نتایج محاسبه وزن هر لایه و روش‌های مورد استفاده در تهیه هر لایه، در جدول ۲ آورده شده است.

لایه مناطق حاوی اکسید آهن با نسبت باندی ۴/۲ در تصاویر سنتینل-۲ و لندست-۸ تهیه شد (شکل ۳-د). با استفاده از تصویر سنتینل-۲، تهیه لایه‌های زون گوسان و خطواره‌های محدوده مطالعه انجام گرفت. برای تهیه لایه گوسان از نسبت باندی ۱۱/۴ و لایه خطواره‌ها از فیلترگذاری باند۴ تصویر سنتینل-۲ استفاده شد. نقشه گوسان در (شکل ۳-پ) و نقشه خطواره‌ها در (شکل ۳-ت) آورده شده است.

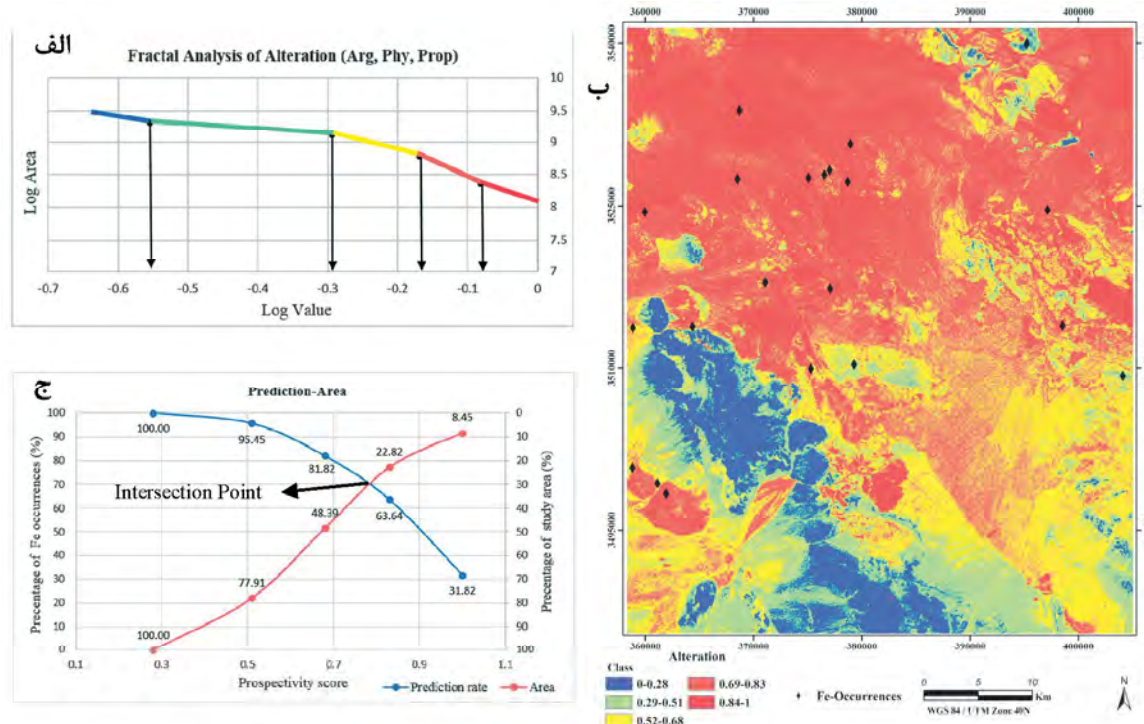
به وسیله روش فرکتالی مقدار-مساحت، لایه‌های مرتبط با کانی‌زایی آهن دوباره کلاس‌بندی شد و به وسیله نمودار پیش‌بینی-مساحت، وزن آنها محاسبه شد. از میان لایه‌های ژئوفیزیکی، نقشه سیگنال تحلیلی برای برآورد حضور توده مغناطیسی در عمق و لایه زاویه تیلت افقی برآورد ساختارهای مغناطیسی در نظر گرفته شد. لایه شاهد زاویه تیلت افقی به پنج کلاس تقسیم و نمودار فرکتالی آن در شکل ۴-الف، نقشه کلاس‌بندی در شکل ۴-ب و نمودار پیش‌بینی-مساحت آن در شکل ۴-ج نمایش داده شده است. طبق نقطه عطف این نمودار، با ۴۳ درصد از مساحت اشغال شده، ۵۷ درصد از آنومالی‌ها توجیه می‌شوند. لایه شاهد سیگنال تحلیلی شامل چهار کلاس می‌باشد. نمودار فرکتالی



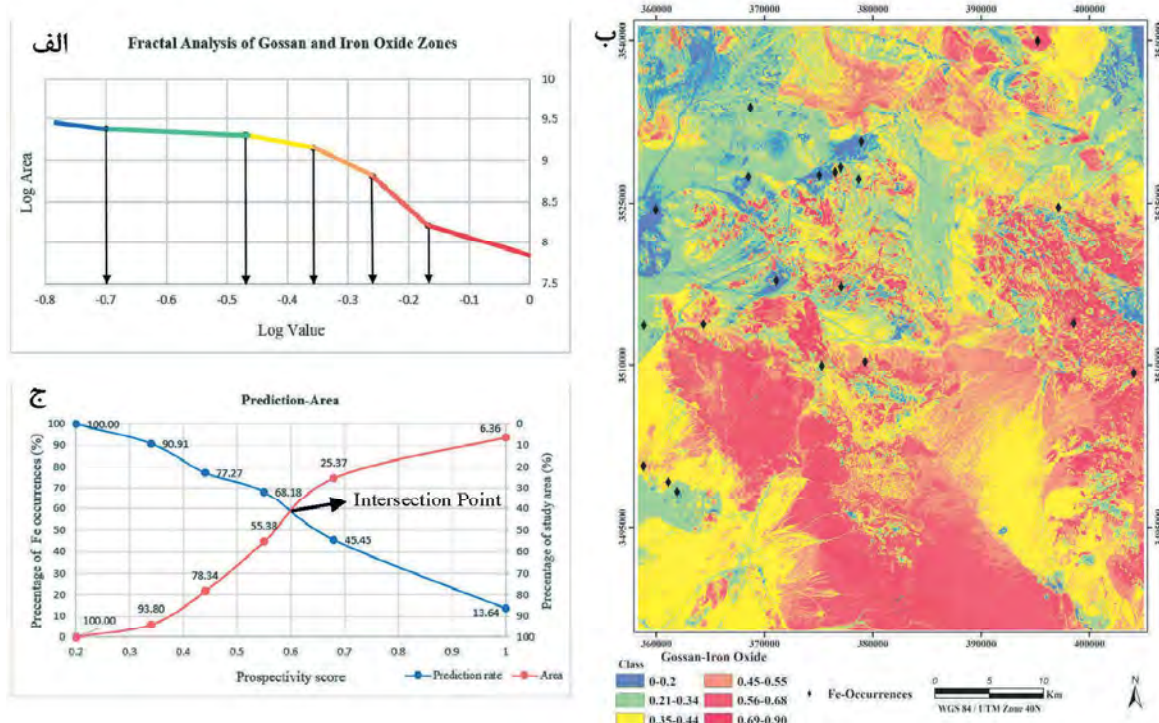
شکل ۴. نقشه شاهد ساختارهای مغناطیسی، (الف) نمودار تمام لگاریتمی مقدار-مساحت، (ب) نقشه کلاس‌بندی شده ساختارهای مغناطیسی بر اساس نمودار فرکتالی، (ج) نمودار پیش‌بینی-مساحت



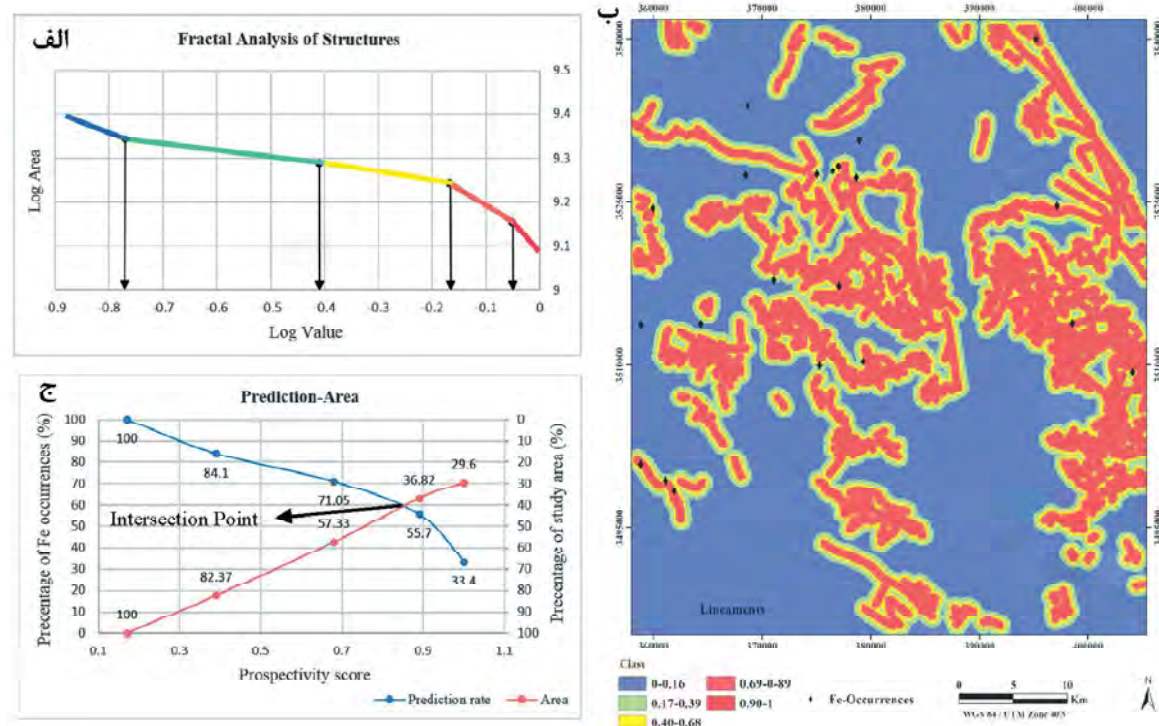
شکل ۵. نقشه شاهد سیگنال تحلیلی، الف) نمودار تمام لگاریتمی مقدار-مساحت، ب) نقشه کلاس‌بندی شده سیگنال تحلیلی براساس نمودار فرکتالی، ج) نمودار پیش‌بینی-مساحت



شکل ۶. نقشه شاهد دگرسانی‌ها، الف) نمودار تمام لگاریتمی مقدار-مساحت، ب) نقشه کلاس‌بندی شده دگرسانی‌ها براساس نمودار فرکتالی، ج) نمودار پیش‌بینی-مساحت



شکل ۷. نقشه شاهد زون اکسید آهن و گوسان، الف) نمودار تمام لگاریتمی مقدار-مساحت، ب، نقشه کلاس‌بندی شده اکسیدهای آهن و گوسان بر اساس نمودار فرکتالی، ج) نمودار پیش‌بینی-مساحت



شکل ۸. نقشه شاهد خطواره‌ها، الف) نمودار تمام لگاریتمی مقدار-مساحت، ب) نقشه کلاس‌بندی شده خطواره‌ها بر اساس نمودار فرکتالی، ج) نمودار پیش‌بینی-مساحت

جدول ۲. لایه‌های شاهد استفاده شده و وزن محاسبه شده هر کدام به وسیله نمودار پیش‌بینی-مساحت

نوع داده	لایه	روش	نرخ پیش‌بینی	مساحت	چگالی نرم‌الایز شده	وزن
مغناطیسی‌هوابرد	توده مغناطیسی	سیگنال تحلیلی	۷۶	۲۴	۳/۱۷	۱/۱۵۳
ساخترهای مغناطیسی	زاویه تیلت افقی		۵۸	۴۲	۱/۳۸	۰/۳۲۳
استر	دگرسانی‌ها	نسبت‌باندی، آنالیز مؤلفه‌های اصلی	۷۰	۳۰	۲/۳۳	۰/۸۴۶
سن‌تیل ۲، لندست ۸	اکسید آهن و گوسان	نسبت‌باندی، آنالیز مؤلفه‌های اصلی	۵۹	۴۱	۱/۴۴	۰/۳۶۴
سن‌تیل ۲	خطواره‌ها	فیلتربرانی	۶۰	۴۰	۱/۵	۰/۴

روش، مقدار فازی شده هر نقشه در وزن به دست آمده آن لایه ضرب می‌شود و سپس مجموع این مقادیر بر مجموع وزن‌های به دست آمده تقسیم می‌شود.

پس از فازی سازی نقشه نهایی، لایه نهایی به کمک روش فرکتال، به پنج زیر گروه تفکیک شد. بر اساس این نمودار نقشه کلاس‌بندی ترسیم شد و در نهایت نمودار پیش‌بینی-مساحت برای این لایه رسم شد. طبق این نمودار با ۲۲ درصد از مساحت اشغال شده، می‌توان ۷۸ درصد از آنومالی‌ها را توجیه کرد با توجه به اعداد به دست آمده از مساحت اشغال شده و نرخ پیش‌بینی، چگالی نرم‌الایز شده برای لایه تلفیقی، برابر با ۳/۵۴۵ بود. بدست می‌آید و وزن این لایه ۱/۲۶۵ خواهد بود. بنابراین لایه نهایی دارای وزن بیشتری از تک تک لایه‌ها می‌باشد. نتایج مربوط به نقشه تلفیق شده نهایی در شکل ۹ آورده شده است. نمودار فرکتالی در شکل ۹-الف، نقشه تلفیقی فازی شده در شکل ۹-ب، نمودار پیش‌بینی مساحت در شکل ۹-ج و نقشه کلاس‌بندی مجدد در شکل ۹-د نمایش داده شده است.

بازدید صحراوی

برای ارزیابی و صحت‌سنجی نتایج، بررسی میدانی از نواحی با پتانسیل بالا صورت پذیرفت. در این راستا مرکز بر جنوب‌شرق گستره مطالعه می‌باشد که به عنوان مناطق با پتانسیل بالایی معرفی می‌شود که اندیس معدنی در آن گستره مشاهده نمی‌شود. در طی این عملیات بخش‌های مختلفی مورد بازدید قرار گرفت که آثار و شواهد زمین‌شناسی گوناگون ثبت و در شکل ۱۰ آورده شده است. در شکل ۱۰-الف ساختارهای خطی و گسل خورده‌گی شدید مشاهده

همان‌طور که از وزن‌های بدست آمده مشخص است، لایه توده مغناطیسی با ضریب ۱/۱۵۳، بالاترین وزن را به خود اختصاص داده است و پس از آن وزن بدست آمده از دگرسانی (فیلیک) جلب توجه می‌کند. دلیل آن می‌تواند در ارتباط با آبکافت پلازیوکلاز و تبدیل به سرسیت باشد (Sepehrirad, et al; 2018 Heidarian, et al; 2017) به همین دلیل این دگرسانی ارتباط تنگاگی با کانی‌زایی تیپ کایرونا دارد. البته دگرسانی‌هایی همچون کلریتی و پتانسیک نیز در ارتباط با این نوع کانی‌زایی می‌باشند.

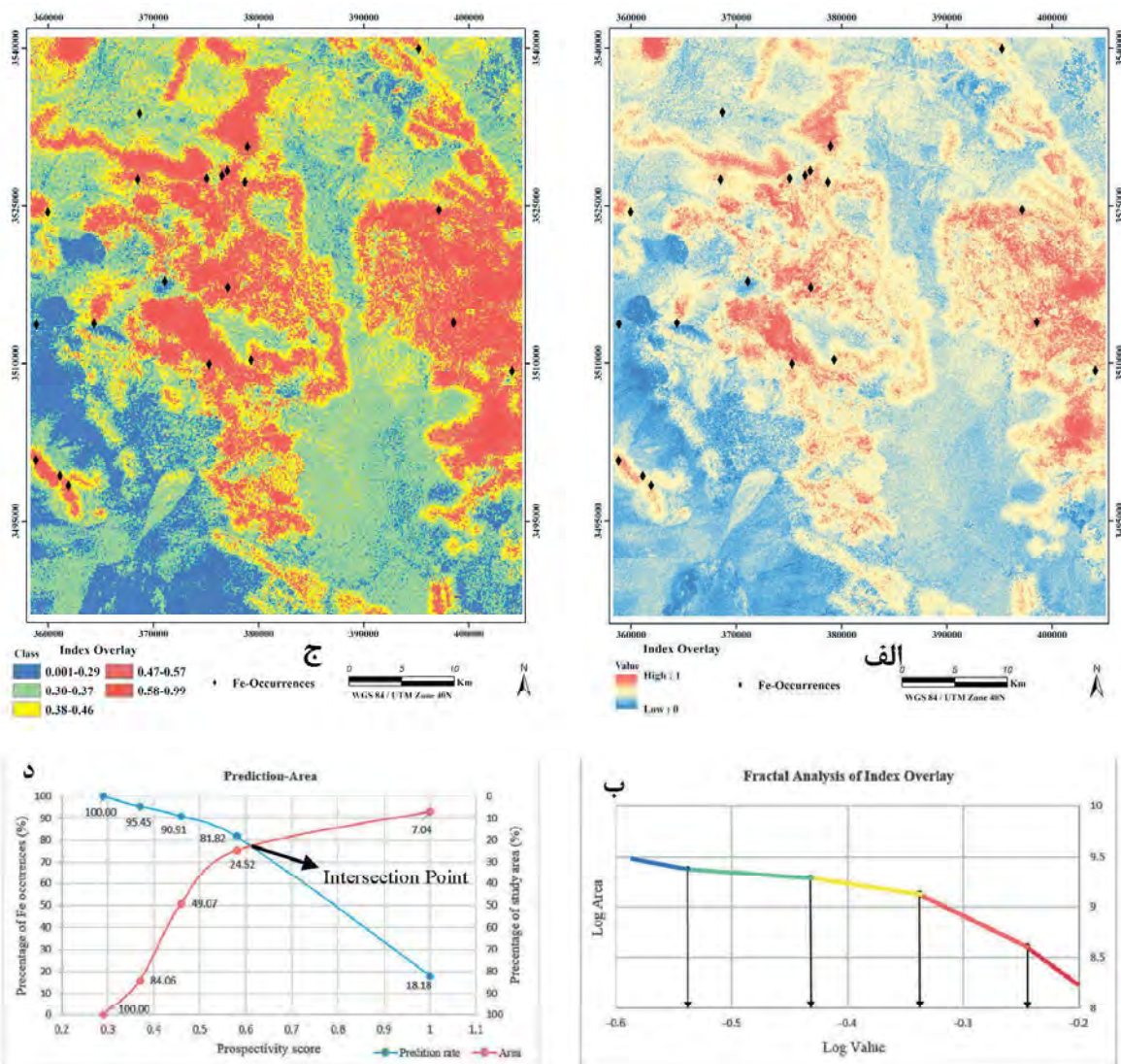
نقشه زاویه تیلت نیز که برای نمایش ساختارهای مغناطیسی استفاده شد وزنی معادل ۰/۳۲۳ دارد. برای لایه‌های اکسید آهن و گوسان مقدار ۰/۳۶۴ بدست آمده است و خطواره‌ها وزن ۰/۴ را به خود اختصاص داده‌اند. این لایه‌ها بر حسب وزنی که برای هر لایه بدست آمده است وارد فرآیند تلفیق برای تهیه نقشه پتانسیل معدنی شدند.

تهیه نقشه پتانسیل معدنی

برای تلفیق لایه‌های اطلاعاتی، روش‌های مختلفی وجود دارد که بر حسب روش‌های وزن‌دهی و روش‌های مدلسازی مختلف می‌توان از آنها استفاده کرد (Bonham-Carter, 1994; Carranza, 2016). در اینجا از روش همپوشانی شاخص برای انجام تلفیق لایه‌های شاهد استفاده شد. پس از تهیه همه لایه‌های شاهد (ژئوفیزیکی و دورسنجی)، برای تهیه نقشه پتانسیل مطلوب، لایه‌های توده مغناطیسی، ساختارهای مغناطیسی، دگرسانی‌ها، اکسیدهای آهن -زون گوسان و خطواره‌ها باهم تلفیق شدند. برای تلفیق این لایه‌ها از روش همپوشانی شاخص استفاده شد. در این

می‌دهد. در شکل ۱۰-ت حضور اولوژیست در سنگ میزبان کربناتی مشاهده می‌شود که در بخش‌های مختلف این قضیه اتفاق افتاده است. در شکل ۱۰-ث واریزه نسبتاً بزرگ سنگ آهن در رسوبات نمایش داده شده است که البته علی‌رغم صرف زمان زیاد، رخنمونی یافت نشد و با توجه به وسعت محدوده نیاز به بررسی‌های بیشتر خواهد داشت. نمونه‌های ماکروسکوپی برداشت شده در شکل ۱۰-ج نشان داده شده است.

می‌شود. شکل ۱۰-ب حضور توده‌های نفوذی را نشان می‌دهد. کربنات‌ها یکی از فراوان ترین واحدهای سنگی در گستره مطالعاتی می‌باشد که طبق تحقیقات مختلف در برخی نواحی نیز در ارتباط با کانی‌سازی هستند. کربنات‌های جنوب‌غرب محدوده با روند شمال‌غرب به جنوب‌شرق در شکل ۱۰-ج نمایش داده شده است. در شکل ۱۰-د محل حفر گمانه یکی از آنومالی‌های محدوده آورده شده است. شکل ۱۰-پ اکسیدهای آهن و هماتیتی شدن را نشان



شکل ۹. نقشه تلفیق شده همه لایه‌های شاهد، (الف) نقشه نهایی تلفیقی فازی شده، (ب) نمودار لگاریتمی فرکتال مقدار-مساحت لایه نهایی تلفیق شد، (ج) نقشه کلاس‌بندی لایه نهایی تلفیق شده، (د) نمودار پیش‌بینی-مساحت لایه نهایی تلفیق شده



شکل ۱۰. بررسی های میدانی. (الف) گسل خورده کوهی شدید در منطقه، (ب) واحدهای کربناتی جنوب غرب برگه اسفوردي، (د) نمایی از آنومالی ها و حفر گمانه اکتشافی، (پ) اکسیدهای آهن، (ت) حضور اولوژیست در سنگ میزبان کربناتی، (ث) واریزه سنگ آهن در رسوبات جنوب شرق گستره مطالعاتي، (ج) نمونه های سنگ آهن برداشت شده در بخش جنوب شرق برگه اسفوردي

نتیجه‌گیری

اسفوردی، این نواحی مشاهده می‌شوند که به رنگ قهوه‌ای تیره قابل شناسایی هستند. این نواحی به عنوان اولویت‌های اکتشافی و بررسی‌های میدانی مدنظر قرار گرفتند. در نقشه نهایی تلقیق شده، با ۲۲ درصد از مساحت دربرگیرنده می‌توان ۷۸ درصد از آنومالی‌ها را توجیه کرد. به عبارتی وزن لایه نهایی حاصل از تلقیق همه لایه‌ها، از تک تک لایه‌ها بیشتر است.

در بررسی‌های میدانی نیز شواهد حاکی از احتمال بالای کانی زایی در این ناحیه به چشم می‌خورد. با انجام بررسی‌های زمین‌شناسی و مقایسه آن با ان迪س‌ها و نهشت‌های قبلی، می‌توان واحدهای ریولیتی، ریوداسیتی، دولومیت‌های آهکی و مناطق حضور مارن را با پتانسیل ترین نواحی برای کانی زایی احتمالی دانست که این موضوع از مهمترین کلیدهای اکتشافی در محدوده می‌باشد. به کمک نقشه نهایی تلقیقی و در نظر گرفتن واحدهای مستعد کانی زایی در محدوده، شناسایی نواحی با پتانسیل و امیدبخش جدید بسیار محتمل خواهد بود.

سپاسگزاری

بدین وسیله از مجموعه معدنی روی خان خاتون و به ویژه جناب آقای دکتر نائز رحمانی و مهندس حمید رستمی پور به دلیل همکاری و همراهی در انجام عملیات صحرابی سپاسگزاری می‌شود. همچنین از سازمان زمین‌شناسی کشور به دلیل در اختیار قرار دادن بخشی از داده‌های این پژوهش تشکر به عمل می‌آید.

منابع

- مجیدی، س.ا.، لطفی، م. و امامی، م.۵، ۱۳۹۴. رنگ‌کانسارهای اکسید آهن-آپاتیت: برپایه مطالعه آپاتیت‌های پهنه بافق-ساغند، ایران مرکزی. فصلنامه علمی-پژوهشی علوم زمین، ۱۰۵(۲۷)، ۲۳۳-۲۴۴.

- Bonham-Carter, G.F., Agterberg, F.P and Wright, D. F., 1989. Weights of evidence modeling: A new approach to mapping mineral potential. In Statistica Application in the Earth Sciences, Geology Survey of Canada, 171-183.

- Bonham-Carter, G.F. 1994. Geographic

یکی از مزیت‌های سنجش از دور در مطالعات زمین‌شناسی، پوشش وسیع گستره مورد مطالعه است که اطلاعات بسیار سودمندی از الگوهای ساختاری را ارائه می‌دهد. گسل‌ها و شکستگی‌ها، ساختارهایی هستند که به خوبی بر روی تصاویر ماهواره‌ای شناسائی می‌شوند. از طرفی پردازش داده‌های مغناطیس هوایی اطلاعات با ارزشی برای تحلیل عوارض زیر سطحی به دست می‌دهد. از جمله رخسارهای قابل شناسایی با استفاده از داده‌های مغناطیسی هوایی می‌توان به تعیین محل و گسترش عمقی توده‌های نفوذی پنهان، مناطق دگرسانی، مناطق بررشی، شکستگی‌های بی‌سنگی و در کل بررسی وضعیت زمین‌ساختی و مطالعه ارتباط آن با کانی‌زایی اشاره کرد. لذا در این پژوهش با تلقیق و تحلیل داده‌های مغناطیسی هوایی و تصاویر ماهواره‌ای از سه سنجنده مختلف، به بررسی وضعیت ساختاری و ارتباط آن با کانی‌زایی پرداخته شد. با استفاده از ان迪س‌ها و نهشت‌های معدنی موجود، وزن دهی به لایه‌های شاهد صورت پذیرفت که با این کار به نوعی اعتبار سنجی نیز صورت پذیرفت. نتایج این پژوهش در مقایسه با کارهای مشابه قبلی، این مزیت را داراست که علاوه بر استفاده از سه سنجنده در تهیه لایه‌های مختلف، از محل ان迪س‌های معدنی بهره برده شده است و این امر اعتبار نتایج را افزایش خواهد داد. در این بین تصاویر سنتیل ۲ در به نفع آوردن مناطق اکسید آهن و زون‌های گوسان قابلیت بالایی داشته و به طور کلی در بررسی‌های مرتبط با کانی‌زایی آهن بسیار مؤثر واقع می‌شود. استفاده از نمودارهای پیش‌بینی-مساحت در مقایسه با روش‌های وزن دهی مرسوم، ریسک ناشی از خطای کارشناسی را در بر نداشته و وزن‌های بدست آمده قابل اعتمادتر خواهد بود. در این راستا با استفاده از توجیه مساحت اشغال شده به وسیله آنومالی‌ها، اقدام به تهیه وزن لایه‌ها شده است.

نتایج نهایی نیز بسیار منطبق بر حضور این نقاط در گستره است. به علاوه بخش‌های جدیدی به عنوان نواحی جدید با پتانسیل بالای کانی‌سازی آهن شناسایی شد. طبق این نقشه، در شرق، جنوب شرق و شمال غربی برگه

- Information Systems for Geoscientists: Modelling with GIS. New York Pergamon/Elsevier, 398.
- Carranza, E. J. M. and Laborte, A. G. 2016. Data-driven predictive modeling of mineral prospectivity using random forests. A case study in Catanduanes Island (Philippines). *Natural Resources Research*, 25, 35–50.
 - Clark, D. A., 2014. Magnetic Effects of Hydrothermal Alteration in Porphyry Copper and Iron-Oxide Copper-gold Systems: A Review. *Tectonophysics*, 624-625,1, 46-65. <https://doi.org/10.1016/j.tecto.2013.12.011>.
 - Daliran, F., Stosch, HG., and Williams PJ., 2009. A review of the Early Cambrian magmatic and metasomatic events and their bearing on the genesis of the Fe oxide-REE-apatite deposits (IOA) of the Bafq district, Iran. In Williams P (Ed.): Smart Science for Exploration and Mining. 10th SGA Biennial, Townsville, 623–625.
 - Daliran, F., 1990. The magnetite-apatite deposit of Mishdovan, East Central Iran. An alkali rhyolite hosted, “Kiruna type” occurrence in the Infracambrian Bafq metallotect (mineralogic, petrographic and geochemical study of the ores and the host rocks. Ph.D. thesis, Heidelberg, Heidelberger Geowissenschaftliche Abhandlungen 37, 248 .
 - Elkhateeb, S. O. and Abdellatif, M. A. G., 2018. Delineation potential gold mineralization zones in a part of Central Eastern Desert, Egypt using Airborne Magnetic and Radiometric data. *NRIAG Journal of Astronomy and Geophysics*, 7(2), 361–376.
 - Elkhateeb, S. O., Eldosouky, A. M. and Aboelabas, S., 2018. Interpretation of Aeromagnetic Data to Delineate Structural Complexity Zones and Porphyry Intrusions at Samr El Qaa Area, North Eastern Desert, Egypt. *International Journal of Novel Research in Civil Structural and Earth Sciences*. 5, Issue 1, 1-9.
 - Förster, H, and Jafarzadeh, A., 1994. The Bafq mining district in Central Iran—a highly mineralized Infracambrian volcanic field. *Economic Geology*, 89, 1697–1721.
 - Gaafar, I. M., 2015. Integration of geo-physical and geological data for delimitation of mineralized zones in Um Naggat area, Central Eastern Desert, Egypt. *NRIAG Journal of Astronomy*.
 - Ghorbani, M., 2013. Economic geology of Iran. 581. Berlin: Springer.
 - Grauch, V. J. S. and Johnston, C. S., 2002. Gradient window method: A simple way to isolate regional from local horizontal gradients in potential-field gridded data: 72nd Annual International Meeting, Society of Exploration Geophysicists.
 - Heidarian, H., Alirezaei, S., and Lentz, D. R., 2017. Chadormalu Kiruna-type magnetite-apatite deposit, Bafq district, Iran: Insights into hydrothermal alteration and petrogenesis from geochemical, fluid inclusion, and sulfur isotope data. *Ore Geology Reviews*, 83, 43–62.
 - Hsu, S. K., Sibuet, J. C, and Shyu, C. T., 1996. High-resolution detection of geologic boundaries from potential anomalies, An enhanced analytic signal technique, *Geophysics*, 61, 373–386.
 - Javed A, and Wani MH., 2009. Delineation of groundwater in Kakund watershed, Eastern Rajasthan using remote sensing and GIS techniques. *Journal of Geol Soc India* 73,2, 229–236.
 - Miller, H.G. and Singh, V., 1994. Potential field tilt – a new concept for location of potential field sources. *Journal of Applied Geophysics*. 32, 213–217.
 - Mohammad Torab, F., 2008. Geochemistry and metallogeny of magnetiteapatite deposits of the Bafq Mining District, Central Iran. Doctoral Thesis, Faculty of Energy and Economic Sciences Clausthal University of Technology.
 - Murphy, B. S., 2007. Airborne geophysics and the Indian scenario. *J. Ind. Geophysics Un-*

- ion, 11 ,1, 1-28.
- Nabatian, G., Rastad, E., Neubauer, F., Honarmand, M., and Ghaderi, M., 2015. Iron and Fe-Mn mineralisation in Iran: implications for Tethyan metallogeny. Australian Journal of Earth Sciences, 62, 2, 211-241.
 - Ranjbar, H., Shahriari, H., and Honarmand, M., 2004. Integration of ASTER and air-borne geophysical data for exploration of copper mineralization. A case study of Sar Cheshmeh area. In Proceedings of 20th congress, International Society for Photogrammetry and Remote Sensing, Istanbul. 12-13.
 - Sadeghi, B., Khalajmasoumi, M., Afzal, P., Moarefvand, P., Yasrebi, A. B., Wetherelt, A., and Ziazarifi, A., 2013. Using ETM+ and ASTER sensors to identify iron occurrences in the Esfandi 1: 100,000 mapping sheet of Central Iran. Journal of African Earth Sciences, 85, 103-114.
 - Sepehrirad, R., Alirezaei, S. and Azimzadeh, A. M., 2018. Hydrothermal alteration in the Gazestan magnetite-apatite deposit and comparison with other Kiruna-type iron deposits in the Bafq district, Central Iran. Journal of Geoscience, 27, 108, 257-268.
 - Stosch, H.G, Romer R.L, Daliran, F. and Rhede D., 2011. Uranium-lead ages of apatite from iron oxide ores of the Bafq District, East-Central Iran. Miner Deposita, 46, 9-21.
 - Testa, F.J., Villanueva, C., Cooke, D.R. and Zhang, L. 2018. Lithological and hydrothermal alteration mapping of epithermal, porphyry and tourmaline breccia districts in the Argentine Andes using ASTER imagery. Remote sensing, 10,2, 203; doi:103390/rs10020203.
 - Torab, F. M. and Lehmann B., 2006. Iron oxide-apatite deposits of the Bafq district, Central Iran. An overview from geology to mining. World of Mining-Surface and Underground, 58, 355-362.
 - Yousefi, M. and Carranza, E. J. M., 2015. Prediction-area (P-A) plot and C-A fractal analysis to classify and evaluate evidential maps for mineral prospectivity modeling. Computers and Geosciences, 79, 69-81.